

DUODIODE-TRIODE for use as A.F. amplifier
 DUODIODE-TRIODE pour l'utilisation comme amplificateur B.F.
 DUODIODE-TRIODE zur Verwendung als N.F.Verstärker

Heating: indirect by A.C. or D.C.;
 series supply

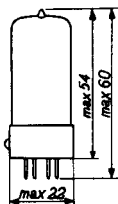
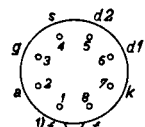
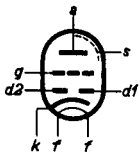
Chauffage: indirect par C.A. ou C.C.; $V_f = 14$ V
 alimentation en série $I_f = 0,1$ A

Heizung: indirekt durch Wechsel-
 oder Gleichstrom;
 Serienspeisung

Dimensions in mm

Dimensions en mm

Abmessungen in mm



Base, culot, Fuss: Rimlock

Capacitances

Capacités

Kapazitäten

Triode section

Partie triode

Triodenteil

Diode section

Partie diode

Diodenteil

$$C_g = 2,7 \text{ pF}$$

$$Cd_1 = 0,8 \text{ pF}$$

$$C_a = 1,7 \text{ pF}$$

$$Cd_2 = 0,7 \text{ pF}$$

$$C_{ag} = 1,5 \text{ pF}$$

$$Cd_1d_2 < 0,3 \text{ pF}$$

$$C_{gf} < 0,05 \text{ pF}$$

$$Cd_{1f} < 0,1 \text{ pF}$$

$$Cd_{2f} < 0,05 \text{ pF}$$

www.DataSheet4U.com

Between triode and diode sections
 Entre les parties triode et diode
 Zwischen Trioden- und Diodenteilen

$$Cd_{1g} < 0,007 \text{ pF}$$

$$Cd_{2g} < 0,03 \text{ pF}$$

$$Cd_{1a} < 0,01 \text{ pF}$$

$$Cd_{2a} < 0,01 \text{ pF}$$

¹) Earthed side of the filament circuit
 Côté mise à la terre du circuit de filament
 Geerdete Seite der Glühfadenschaltung

DOUBLE DIODE-TRIODE for use as A.F. amplifier
 DOUBLE DIODE-TRIODE pour utilisation en amplificateur
 B.F.
 DOPPELDIODE-TRIODE zur Verwendung als NF-Verstärker

Heating : indirect by A.C. or D.C.
 series supply

Chauffage: indirect par C.A. ou C.C.
 alimentation-série

Heizung : indirekt durch Wechsel-
 oder Gleichstrom
 Serienspeisung

$V_f = 14$ V

$I_f = 100$ mA

Base, culot, Sockel: RIMLOCK

Overall length: 60 mm

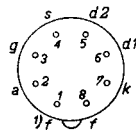
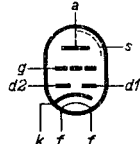
See pages 203 and 252

Hauteur totale: 60 mm

Voir pages 203 et 252

Gesamthöhe : 60 mm

Siehe S. 203 und 252



Capacitances
 Capacités
 Kapazitäten

Triode section
 Partie triode
 Triodenteil

$C_g = 2,7$ pF
 $C_a = 1,7$ pF
 $C_{ag} = 1,5$ pF
 $C_{gf} < 0,05$ pF

Diode section
 Partie diode
 Diodenteil

$C_{d1} = 0,8$ pF
 $C_{d2} = 0,7$ pF
 $C_{d1d2} < 0,3$ pF
 $C_{d1f} < 0,1$ pF
 $C_{d2f} < 0,05$ pF

Between triode and diode sections
 Entre les parties triode et diode
 Zwischen Trioden- und Diodenteilen

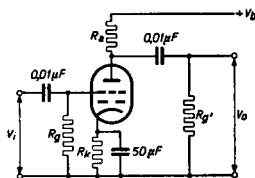
$C_{d1g} < 0,007$ pF
 $C_{d2g} < 0,03$ pF
 $C_{d1a} < 0,01$ pF
 $C_{d2a} < 0,01$ pF

¹⁾ Earthed side of the filament circuit
 Côté mise à la terre du circuit de filament
 Geerdete Seite der Glühfadenschaltung

Typical characteristics of the triode section
 Caractéristiques typiques de la partie triode
 Kenndaten des Triodenteiles

V _a =	170	100	V
V _g =	-1,55	-1,0	V
I _a =	1,5	0,8	mA
S =	1,65	1,4	mA/V
μ =	70	70	
R _i =	42	50	k Ω

Operating characteristics as L.F. amplifier
 Données caractéristiques comme amplificateur B.F.
 Betriebsdaten als N.F. Verstärker



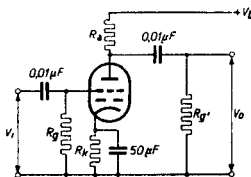
V _b (V)	R _a (M Ω)	R _k (k Ω)	R _g (M Ω)	R _{g'} (M Ω)	I _a (mA)	V _o V _i	d _{tot} (%) at V _o =		
							3V _{eff}	5V _{eff}	8V _{eff}
170	0,22	5,6	1	0,68	0,28	44	1,1	1,3	1,85
100	0,22	5,6	1	0,68	0,18	41	1,4	1,9	
170	0,1	3,9	1	0,33	0,45	37	1,1	1,7	2,6
100	0,1	3,9	1	0,33	0,28	34	2,0	3,5	
170	0,22	0	22	0,68	0,46	48	0,95	1,1	1,3
100	0,22	0	22	0,68	0,21	41	1,45	2,0	
170	0,1	0	22	0,33	0,82	42	0,75	1,0	1,2
100	0,1	0	22	0,33	0,35	35	1,6	2,8	

This valve can be used without special precautions against microphonic effect in circuits in which the input voltage $V_i \geq 10$ mV for an output of 50 mW of the output valve

Typical characteristics of the triode section
 Caractéristiques typiques de la partie triode
 Kenndaten des Triodenteiles

V _a =	170	100	V
V _g =	-1,55	-1,0	V
I _a =	1,5	0,8	mA
S =	1,65	1,4	mA/V
μ =	70	70	
R _i =	42	50	k Ω

Operating characteristics as L.F. amplifier
 Données caractéristiques comme amplificatrice B.F.
 Betriebsdaten als N.F. Verstärker



V _b (V)	R _a (M Ω)	R _k (k Ω)	R _g (M Ω)	R _{g'} (M Ω)	I _a (mA)	V _o V _i	d _{tot} (%) at V _o =		
							3V _{eff}	5V _{eff}	8V _{eff}
170	0,22	5,6	1	0,68	0,28	44	1,1	1,3	1,85
100	0,22	5,6	1	0,68	0,18	41	1,4	1,9	
170	0,1	3,9		0,33	0,45	37	1,1	1,7	2,6
100	0,1	3,9	1	0,33	0,28	34	2,0	3,5	
170	0,22	0	22	0,68	0,46	48	0,95	1,1	1,3
100	0,22	0	22	0,68	0,21	41	1,45	2,0	
170	0,1	0	22	0,33	0,82	42	0,75	1,0	1,2
100	0,1	0	22	0,33	0,35	35	1,6	2,8	

This valve can be used without special precautions against microphonic effect in circuits in which the input voltage $V_i \geq 10$ mV for an output of 50 mW of the output valve

Ce tube peut être utilisé sans précautions spéciales contre l'effet microphonique dans des circuits dont la tension d'entrée $V_i \geq 10$ mV pour une puissance de 50 mW du tube de sortie

Diese Röhre darf ohne spezielle Massnahmen gegen Mikrophonie verwendet werden in Schaltungen die für eine Eingangsspannung $V_i \geq 10$ mV eine Leistung von 50 mW der Endröhre ergeben

Limiting values of the triode section
Caractéristiques limites de la partie triode
Grenzdaten des Triodenteiles

V_{a_0}	= max.	550 V
V_a	= max.	250 V
W_a	= max.	0,5 W
I_k	= max.	5 mA
V_g ($I_g = +0,3 \mu A$)	= max.	-1,3 V
R_g	= max.	$3 M\Omega^1$
V_{kf}	= max.	150 V
R_{kf}	= max.	20 kΩ

→ Limiting values of the diode sections
Caractéristiques limites des parties diode
Grenzdaten der Diodenteile

V_d inv _p	= max.	350 V
I_d	= max.	0,8 mA
I_{dp}	= max.	5 mA
V_{kf}	= max.	150 V
R_{kf}	= max.	20 kΩ

¹) If the grid bias is obtained only by connecting a leakage resistor in the grid circuit, the max. value of R_g is $22 M\Omega$.

Si la polarisation négative est obtenue seulement par moyen d'une résistance de fuite dans le circuit de la grille, la valeur maximum de R_g est de $22 M\Omega$.

Wenn die negative Gittervorspannung nur von einem Ableitungswiderstand in der Gitterleitung erhalten wird, ist der Maximalwert von R_g $22 M\Omega$.

Ce tube peut être utilisé sans précautions spéciales contre l'effet microphonique dans des circuits dont la tension d'entrée $V_1 \leq 10$ mV pour une puissance de sortie de 50 mW du tube de sortie

Diese Röhre darf ohne spezielle Massnahmen gegen Mikrophonie verwendet werden in Schaltungen die für eine Eingangsspannung $V_1 \leq 10$ mV eine Ausgangsleistung von 50 mW der Endröhre ergeben

Limiting values of the triode section
Caractéristiques limites de la partie triode
Grenzdaten des Triodenteiles

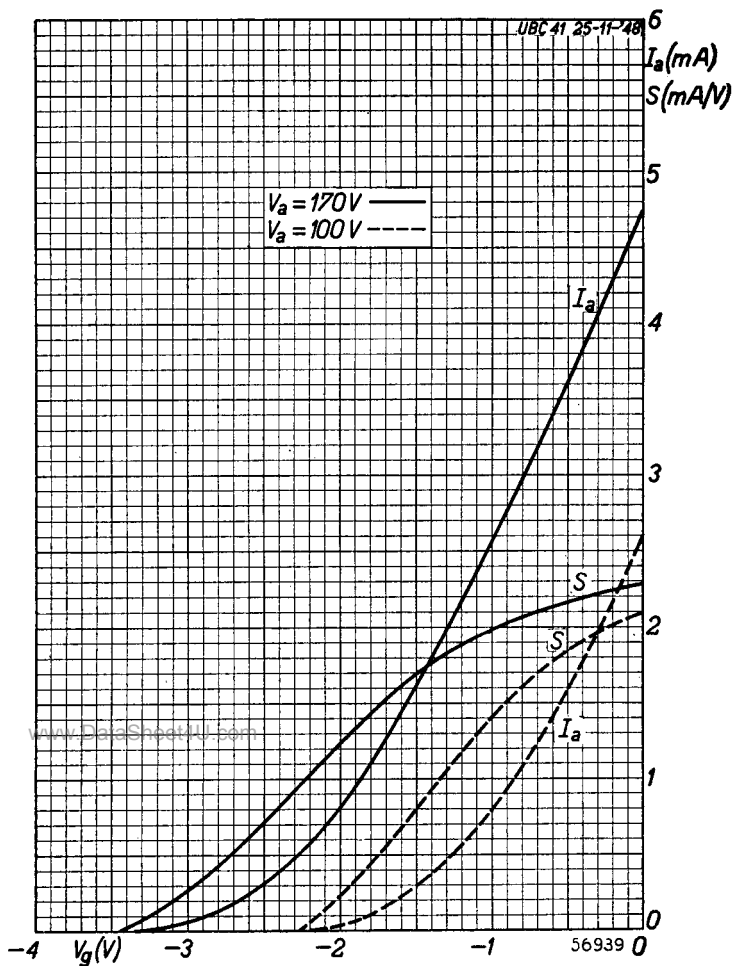
V_{ao}	= max. 550 V
V_a	= max. 250 V
W_a	= max. 0,5 W
I_k	= max. 5 mA
$-V_g$ ($I_g = +0,3 \mu A$)	= max. 1,3 V
R_g	= max. $3 M\Omega$ ¹⁾
V_{kf}	= max. 150 V
R_{kf}	= max. 20 k Ω

Limiting values of the diode sections (each diode)
Caractéristiques limites des parties diode (par diode)
Grenzdaten der Diodenteile (pro Diode)

V_d invp	= max. 350 V
I_d	= max. 0,8 mA
I_{dp}	= max. 5 mA
V_{kf}	= max. 150 V
R_{kf}	= max. 20 k Ω

For curves refer to type UBC81
Pour les courbes voir type UBC81
Für die Kennlinien siehe Typ UBC81

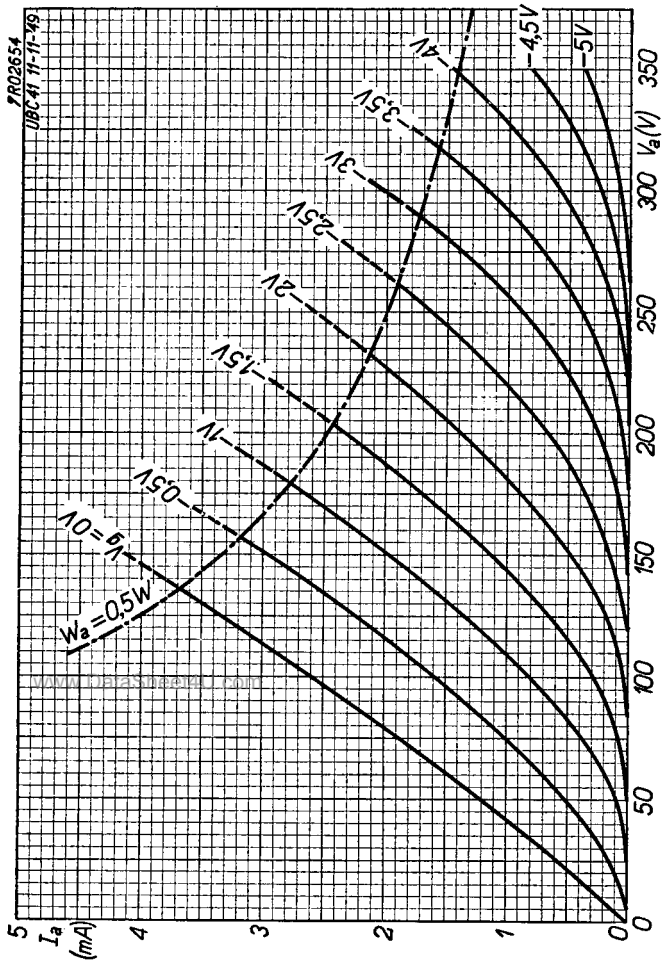
1) If the grid bias is obtained only by connecting a leakage resistor in the grid circuit, the max. value of R_g is $22 M\Omega$
Si la polarisation négative est obtenue seulement par moyen d'une résistance de fuite dans le circuit de la grille, la valeur maximum de R_g est de $22 M\Omega$
Wenn die negative Gittervorspannung nur mittels eines Ableitwiderstandes in der Gitterleitung erhalten wird, ist der Maximalwert von R_g $22 M\Omega$

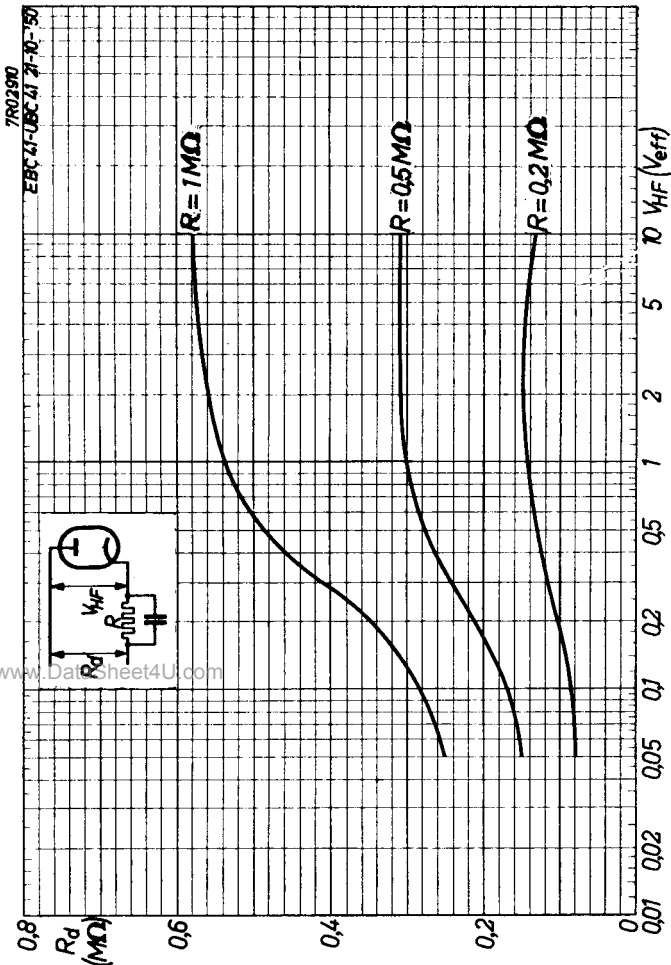


UBC 41

"Miniwatt"

www.DataSheet4U.com



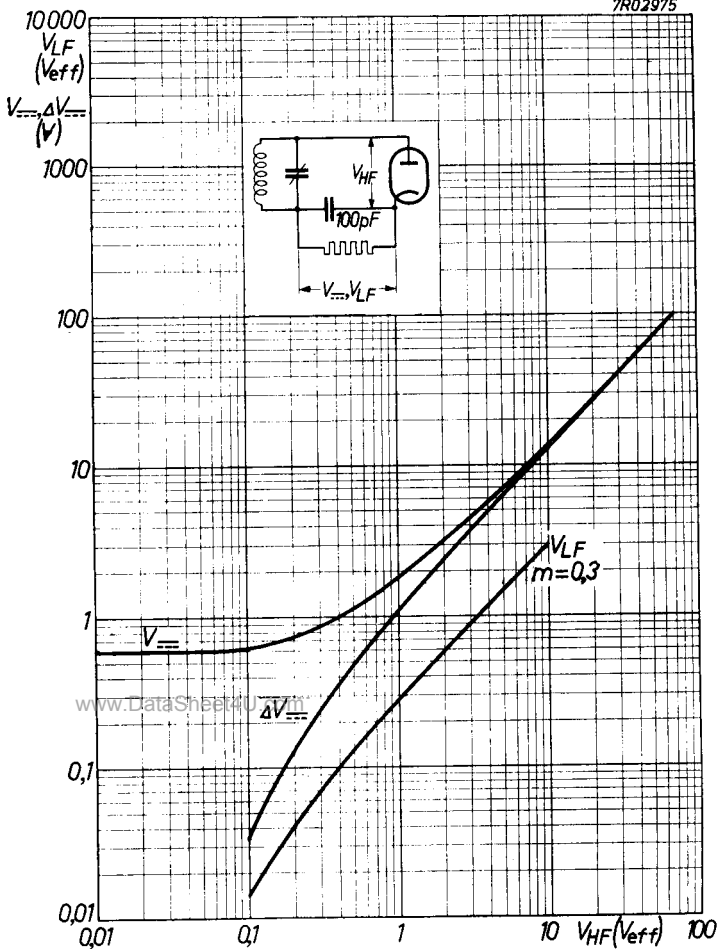


UBC 41

"Miniwatt"

www.DataSheet4U.com

7R02975



D

PHILIPS www.DataSheet4U.com

*Electronic
Tube*

H A N D B O O K

UBC41

page	sheet	date
1	1	1951.11.11
2	1	1953.12.12
3	2	1951.11.11
4	2	1953.12.12
5	3	1951.11.11
6	3	1958.02.02
7	A	1949.11.11
8	B	1949.11.11
9	C	1950.12.12
10	D	1950.12.12
11	FP	2000.06.11